

2014/04/03-04 Journées Louis-Antoine, Rennes, 3x 1 heure.

Calcul de représentations galoisiennes attachées aux formes modulaires.

Travail commun avec : Jean-Marc Couveignes, Robin de Jong, Franz Merkl  
+ résultats de Bosman, Bruin, Javanpeykar, Mascot, Zeng, .....

Exposé 1

1 Repr. galoisiennes.

$\mathbb{C}$  alg. cls:  $\forall f \in \mathbb{C}[x]$  unitaire  $f = x^d + f_{d-1}x^{d-1} + \dots + f_0$ ,  
 $\exists \alpha_1, \dots, \alpha_d \in \mathbb{C} : f = (x - \alpha_1) \dots (x - \alpha_d)$ .

$\mathbb{Z} \subset \mathbb{Q} \subset \mathbb{R} \subset \mathbb{C}$  Cela se dém. en utilisant la topologie,  $z \mapsto |f(z)|$ .  
Pour voir les "symétries des nombres", oublions la topologie;  $\text{Aut}(\mathbb{C})$ .  
Annexes

$\overline{\mathbb{Q}} := \{ \alpha \in \mathbb{C} : (1, \alpha, \alpha^2, \dots) \mathbb{Q}\text{-lin. de f. } \}$ , nombres algébriques, sous-corps de  $\mathbb{C}$ .  
 $\overline{\mathbb{Z}} := \{ \alpha \in \overline{\mathbb{Q}} : \mathbb{Z} + \mathbb{Z} \cdot \alpha + \mathbb{Z} \cdot \alpha^2 + \dots \text{ est un } \mathbb{Z}\text{-module de t.f. } \}$ , entiers algébriques; sous-anneau de  $\overline{\mathbb{Q}}$ ,  $\overline{\mathbb{Q}} = \text{Frac}(\overline{\mathbb{Z}})$ .

$G_{\overline{\mathbb{Q}}} := \text{Gal}(\overline{\mathbb{Q}}/\mathbb{Q}) = \text{Aut}_{\text{Annexes}}(\overline{\mathbb{Q}})$ , (+ topologie pro-fini, compact, tot. discontinu)  
 $\text{card}(G_{\overline{\mathbb{Q}}}) = \text{card}(\mathbb{R})$ .

Pour  $f \in \mathbb{Q}[x]$  unitaire,  $d = \text{deg}(f)$ ,  $f = (x - \alpha_1) \dots (x - \alpha_d)$  dans  $\overline{\mathbb{Q}}[x]$ ,

$K_f := \mathbb{Q}(\alpha_1, \dots, \alpha_n) \subset \overline{\mathbb{Q}}$ , corps de décomp. de  $f$  dans  $\overline{\mathbb{Q}}$ ;  $\dim_{\mathbb{Q}}(K_f) \leq d!$   
 $0 = \sigma(0) = \sigma(\alpha^d + f_{d-1}\alpha^{d-1} + \dots + f_0) = \dots = f(\sigma(\alpha))$ .

$\forall \sigma \in G_{\overline{\mathbb{Q}}}$ ,  $\forall \alpha \in \text{Racines}(f) : \sigma(\alpha) \in \text{Racines}(f) :$   
 $\sigma : K_f \rightarrow K_f$ ,  $\mathbb{Q} \subset K_f$  galoisienne.  $\text{Gal}(K_f/\mathbb{Q}) = \text{Aut}(K_f)$

$G_{\overline{\mathbb{Q}}} \subset \text{Racines}(f)$ ,  $G_{\overline{\mathbb{Q}}} \rightarrow \text{Gal}(f) \subset \text{Sym}(\text{Racines}(f)) \xrightarrow{\sim} S_r$   
si  $\varphi : \{1, 2, \dots, r\} \xrightarrow{\sim} \text{Racines}(f)$ , bijection ou étiquetage.

Repr. galoisienne par permutations:  $G_{\overline{\mathbb{Q}}} \rightarrow S_r$ .

$\overline{\mathbb{Q}} = \bigcup_{\mathbb{Q} \subset K \subset \overline{\mathbb{Q}}} K$ ,  $\mathbb{Q} \subset K_{f_1} \cap K_{f_2} \subset \overline{\mathbb{Q}}$ ,  $\forall K : G_{\overline{\mathbb{Q}}} \rightarrow \text{Gal}(K/\mathbb{Q})$ .  
gal. finie

$G_{\overline{\mathbb{Q}}} = \{ (\sigma_f)_f : \sigma_f \in \text{Aut}(K_f), \forall f_1, f_2 : K_{f_1} \subset K_{f_2} \Rightarrow \sigma_{f_2}|_{K_{f_1}} = \sigma_{f_1} \}$   
 $G_{\overline{\mathbb{Q}}} \subset \prod_f \text{Aut}(K_f)$ , top. pr., top. discr. sur les facteurs, il est fermé.

$$\overline{\mathbb{Q}}^x \supset \zeta_n^e \hookrightarrow \mathbb{C}$$

Exemple  $f_n := x^n - 1$ ,  $\zeta_n := e^{2\pi i/n}$ ,  $\text{Racines}(f_n) = \langle \zeta_n \rangle \hookrightarrow \mathbb{Z}/n\mathbb{Z}$

$\text{Gal } \mathbb{Q}(\zeta_n) \rightarrow \text{Aut}(\langle \zeta_n \rangle) = (\mathbb{Z}/n\mathbb{Z})^*$  Gauss: surjectif! (inéd. des  $\Phi_n$ ).

$$\text{Gal}(\overline{\mathbb{Q}}/\mathbb{Q}) \rightarrow \text{Aut}(\overline{\mathbb{Q}}^x_{\text{tors}}) = \lim_n (\mathbb{Z}/n\mathbb{Z})^* = \hat{\mathbb{Z}}^* = \prod_p \mathbb{Z}_p^*$$

$$\mathbb{C}^x_{\text{tors}} = \overline{\mathbb{Q}}^x_{\text{tors}} \cong \mathbb{Q}/\mathbb{Z}$$

$$= \bigcup_{n \geq 1} \langle \zeta_n \rangle$$

$\prod_n (\mathbb{Z}/n\mathbb{Z})^*$  top. pr. avec top. discr. sur les facteurs.

Pour voir que c'est grand:  $(\mathbb{Z}/2!\mathbb{Z})^* \leftarrow (\mathbb{Z}/3!\mathbb{Z})^* \leftarrow (\mathbb{Z}/4!\mathbb{Z})^* \leftarrow \dots$

$G_{\mathbb{Q}} \xrightarrow{\chi_n} \text{Aut}(\langle \zeta_n \rangle) = (\mathbb{Z}/n\mathbb{Z})^*$  notre 1<sup>er</sup> ex. de repr. gal. linéaire, de dim. 1 sur  $\mathbb{Z}/n\mathbb{Z}$ .

Repr. gal. de dim. d sur  $\mathbb{Z}/n\mathbb{Z}$ :  $\rho: G_{\mathbb{Q}} \rightarrow \text{GL}_d(\mathbb{Z}/n\mathbb{Z})$  obtenue d'un  $f \in \mathbb{Q}[x]$  et bij.  $\varphi: (\mathbb{Z}/n\mathbb{Z})^d \xrightarrow{\sim} \text{Racines}(f)$  t.q.  $\forall \sigma \in G_{\mathbb{Q}}$ ,  $\sigma$  agit sur  $(\mathbb{Z}/n\mathbb{Z})^d$  (via  $\varphi$ ) par applic. lin:  $\text{GL}_d(\mathbb{Z}/n\mathbb{Z})$ .

(équivalents:  $\rho$  est continue pour la top. discr. du but.) même: anneau fini A

Thm (Kronecker-Weber)  $\forall \rho: G_{\mathbb{Q}} \rightarrow \text{GL}_1(\mathbb{Z}/n\mathbb{Z})$ ,  $\exists m \geq 1$ ,

$\exists \alpha: (\mathbb{Z}/m\mathbb{Z})^* \rightarrow \text{GL}_1(\mathbb{Z}/n\mathbb{Z})$  t.q.  $\rho = \alpha \circ \chi_m$ .

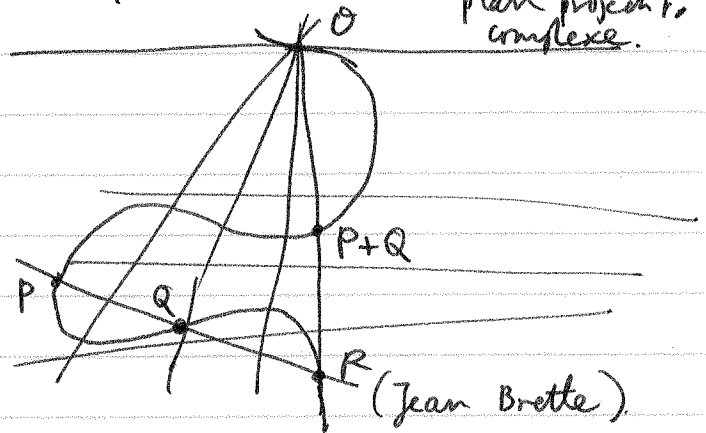
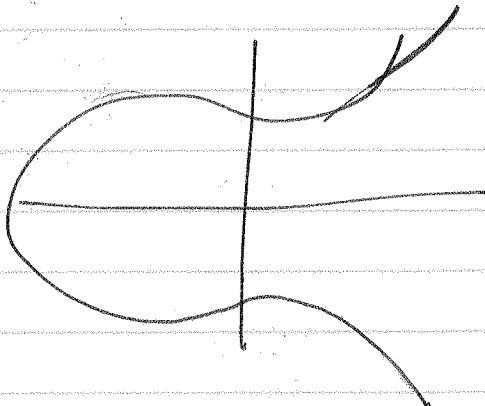
Donc  $G_{\mathbb{Q}} \hookrightarrow \text{GL}_1(\overline{\mathbb{Q}})^{\text{tors}}$  fournit toutes les repr. gal. de dim. 1.

## 2 Courbes elliptiques.

Pour  $a, b \in \mathbb{C}$  t.q.  $4a^3 + 27b^2 \neq 0$  on pose:

$$E_{a,b}(\mathbb{C}) := \{(x,y) \in \mathbb{C}^2 : y^2 = x^3 + ax + b\} \cup \{\infty\}$$

point à l'infinie  
On a besoin ici du plan projectif complexe.



$E_{a,b}(\mathbb{C})$  est un gr. commutatif,  $\cong \mathbb{C}/\text{réseau}$  (fonctions de Weierstrass), donc  $E_{a,b}(\mathbb{C})_{\text{tors}} \cong \mathbb{Q}^2/\mathbb{Z}^2$ ,  $E_{a,b}(\mathbb{C})[n] \xrightarrow{\sim} (\mathbb{Z}/n\mathbb{Z})^2$

$\forall P, Q, \forall \sigma \in \text{Aut}(\mathbb{C}) : \sigma(P+Q) = \sigma(P) + \sigma(Q)$  car  $\sigma \in \text{Aut}(\mathbb{P}^2(\mathbb{C}))$  droites incidentes  $E_{a,b}(\mathbb{C})/\sigma$   
 $(x,y) \mapsto (\sigma(x), \sigma(y))$

$\forall n \geq 1, \forall P: \sigma(n.P) = n \cdot \sigma(P), \sigma \subset E_{a,b}(\mathbb{C})(n) \stackrel{\text{car Aut}(\mathbb{C})\text{-orbitaires}}{\cong} E_{a,b}(\overline{\mathbb{Q}})(n).$

$\rho_{E_{a,b,n}}: G_{\mathbb{Q}} \rightarrow \text{Aut}(E_{a,b}(\overline{\mathbb{Q}})(n)) \cong GL_2(\mathbb{Z}/n\mathbb{Z}).$   
 $\downarrow \quad \uparrow$   
 $\text{Gal}(K/\mathbb{Q}) \quad K = \mathbb{Q}(\text{coordonnées des } P \text{ d'ordre } n)$   
*bijection compatible à l'action de  $G_{\mathbb{Q}}$ .*

Pour obtenir un  $f \in \mathbb{Q}[X]$  et  $\text{Racines}(f) \cong E(\overline{\mathbb{Q}})(n)$ : choisir un  $P_0 \in \mathbb{P}^2(\mathbb{Q})$ , projeter  $\mathbb{P}^2(\overline{\mathbb{Q}}) - \{P_0\}$  sur la "droite des  $x$ ":  $p: \mathbb{P}^1(\overline{\mathbb{Q}}) \rightarrow \mathbb{P}^1(\overline{\mathbb{Q}}) \dots$   
 (avec générale)  $f = \prod_{P: n.P=0} (X - p(P)).$

La construction de  $f$  à partir de  $a, b, n$  et  $P_0$  est explicite.  
 Le temps de calcul est  $\leq (n + \log(\text{num}(a) + |\text{den}(a)| + \text{num}(b) + |\text{den}(b)|))^{cte}$ .  
 (choisir  $P_0$  assez simple).

Mais: les courbes ell. ne fournissent pas toutes les repr.

$\rho: G_{\mathbb{Q}} \rightarrow GL_2(\text{ann. linie}),$  même pas les  $GL_2(\mathbb{Z}/n\mathbb{Z}).$   
 (Conj. de modularité de Serre)

Thm. (Khare + Wintenberger + Kisin). Soit  $\mathbb{F}$  un corps fini,  
 $\rho: G_{\mathbb{Q}} \rightarrow GL_2(\mathbb{F})$  t.q.  $\det(\rho(\text{conj. complexe})) = -1, \rho$  semi-simple.  
 Alors  $\exists$  forme modulaire  $f$ , propre pour les opérateurs de Hecke, normalisée, t.q.  $\rho \cong \rho_f$  (je n'explique pas ici comment est caractérisé  $\rho_f$ , ni ce que c'est  $f$ ).

Rem. Dans les cas les plus intéressants, c'est même vrai avec  $\mathbb{F}$  remplacé par un anneau fini. (repr. résiduelles abs. irred.)  
 Cela résulte de la dém. des théorèmes "R=T".

Thm. (Couvignes, Edixhoven, de Jong, Bruin, Jarman.) Pour  $f$  comme dans le thm. précédent, un polynôme pour  $\rho_f$  peut être calculé en temps polynomial en  $\#\mathbb{F} + \text{niveau}(f) + \text{poids}(f).$

3. Formes modulaires de niveau 1.

Version brève, non-motivée. Voir aussi Serre, Cours d'arithmétique

$$GL_2(\mathbb{R})^+ \curvearrowright \mathbb{H} := \{z \in \mathbb{C} : \text{Im}(z) > 0\} \quad \begin{pmatrix} a & b \\ c & d \end{pmatrix} \cdot z = \frac{az+b}{cz+d} \quad \mathbb{P}^1(\mathbb{C}) - \mathbb{P}^1(\mathbb{R}) = \mathbb{C} - \mathbb{R} = \mathbb{H} \cup \overline{\mathbb{H}}$$

$$\Gamma := SL_2(\mathbb{Z}).$$

1.  $f$  holomorphe

2.  $\forall \begin{pmatrix} a & b \\ c & d \end{pmatrix} \in \Gamma : f\left(\frac{az+b}{cz+d}\right) \cdot (cz+d)^{-k} = f(z)$

3.  $n \leq 0 \Rightarrow a_n(f) = 0$

formes mod. cuspidales poids  $k$

$$2 \Leftrightarrow 2' : \begin{cases} f(z+1) = f(z) \\ f(-1/z) = z^k \cdot f(z) \end{cases} \quad f = \sum_{n \in \mathbb{Z}} a_n(f) \cdot q^n, \quad q: \mathbb{H} \rightarrow \mathbb{C} \quad z \mapsto e^{2\pi i z}$$

$M_k(\Gamma)$ : même, avec " $n \leq 0$ " remplacé par " $n < 0$ ".

Exemples Séries d'Eisenstein Pour  $k \in \mathbb{Z}, k \geq 4$ , pair:  $E_k \in M_k(\Gamma) : z \mapsto \frac{1}{24} \sum_{\substack{(n,m) \in \mathbb{Z}^2 \\ \neq (0,0)}} \frac{1}{(n+mz)^k}$

$$E_k = 1 - \frac{2k}{B_k} \sum_{n \geq 1} \sigma_{k-1}(n) q^n \quad \text{ou} \quad \frac{te^t}{e^t-1} = \sum_{k \geq 0} B_k \frac{t^k}{k!}, \quad \sigma_r(n) = \sum_{0 < d|n} d^r$$

$$\Delta := \frac{E_4^3 - E_6^2}{1728}, \quad \Delta = q \cdot \prod_{n \geq 1} (1 - q^n)^{24} = \sum_{n \geq 1} \tau(n) q^n \quad \tau(n) \in \mathbb{Z}, \text{ Ramanaujan}$$

(discriminant)

Fact:  $\bigoplus_{k \in \mathbb{Z}} M_k(\Gamma) = \mathbb{C}[E_4, E_6].$   $M_k(\Gamma) = S_k(\Gamma) \oplus \mathbb{C} \cdot E_k, \quad k \geq 4, \text{ pair.}$   
 "  $\Delta \cdot M_{k-12}(\Gamma).$

Def.  $M_k(\Gamma, \mathbb{Z}) := \{f \in M_k(\Gamma) : \forall n, a_n(f) \in \mathbb{Z}\}$   
 $S_k(\Gamma, \mathbb{Z}) := \{f \in S_k(\Gamma) : \forall n, a_n(f) \in \mathbb{Z}\}.$

Thm (C-E-dJ) Admettons G-RH. Il existe un algorithme (déterministe) qui, donné un entier  $k \geq 0$ , les coeff.  $a_i(f)$  pour  $0 \leq i \leq k/2$  d'un  $f \in M_k(\Gamma, \mathbb{Z})$  et un entier  $n \geq 1$  avec sa factorisation en nombres premiers, calcule  $a_n(f)$  en temps polynomial en  $k, \log n$  et  $\max_{i \leq k/2} \log(1 + |a_i(f)|).$

Conclusions importantes: 1. Les formes modulaires (plus généralement, automorphes) sont cruciales pour la compréhension des propriétés analytiques des fonctions L de repr. galloisiennes  
 2. Les repr. gal. sont cruciales pour calculer rapidement les coeff. des formes modulaires.

4. Application aux fonctions theta de réseaux.

Thm (Jacobi...) Soit  $\forall b \in M_n(\mathbb{Z})$  symétrique,  $p$  définie positive, unimodulaire ( $\det(b)=1$ ), et paire:  $\forall i, b_{ii} \equiv 0 \pmod{2}$ .

Alors  $\theta_b := \sum_{x \in \mathbb{Z}^n} q^{(x^t b x)/2} : \mathbb{H} \rightarrow \mathbb{C}$  est dans  $M_{n/2}(\Gamma_2(\mathbb{Z}))$ .

Rem. Convergence de la  $\Sigma$ : élémentaire.

$\theta_b(z+1) = \theta_b(z)$ : évident.

$\theta_b(-Yz) = z^{n/2} \theta_b(z)$ : formule de Poisson sur  $z = iy, y \in \mathbb{R}_{>0}$ .  $\square$

Exemple  $E_8 := \mathbb{Z}^8 + \text{pr. sc. donné par}$

$$\begin{pmatrix} 2 & -1 & & & & & & \\ -1 & 2 & -1 & & & & & \\ & -1 & 2 & -1 & -1 & & & \\ & & -1 & 2 & & & & \\ & & & -1 & 2 & -1 & & \\ & & & & -1 & 2 & -1 & \\ & & & & & -1 & 2 & -1 \\ & & & & & & -1 & 2 \end{pmatrix}$$

Par manque de possibilités;  
 $\dim_{\mathbb{C}}(M_q(\Gamma)) = 1$ , on a

$\theta_{E_8} = E_4 = 1 + 240 \cdot \sum_{n \geq 1} \sigma_3(n) q^n$

Exemple Leech, rang 24;  $\theta_{\text{Leech}} = E_{12} - \frac{65520}{691} \cdot \Delta = \sum_{n \geq 0} r_{\text{Leech}}(n) q^n$

Thm (C-E-dJ-M). Admettons GRH. Il existe un algor. déterministe qui, donné le rang  $n_L$  et les entiers  $r_L(i)$  pour  $1 \leq i \leq n_L/24$  d'un réseau pair unimodulaire  $(L, b)$  et un entier  $m > 0$  avec sa factorisation en nombres premiers, calcule  $r_L(m)$  en temps polynomial en  $n_L$  et  $\log m$ .

On peut l'appliquer aux sommes orthog. de  $E_8$  et  $L$ .

Avec les génér. de Bruin: on peut traiter les  $\mathbb{Z}^n + \text{pr. sc. standard}$ ,

$r_n(m) = \#\{(x_1, \dots, x_n) \in \mathbb{Z}^n : x_1^2 + \dots + x_n^2 = m\}$ .

$\exists$  des résultats classiques pour  $n \in \{1, 2, 3, 4, 6, 8, 10\}$ .

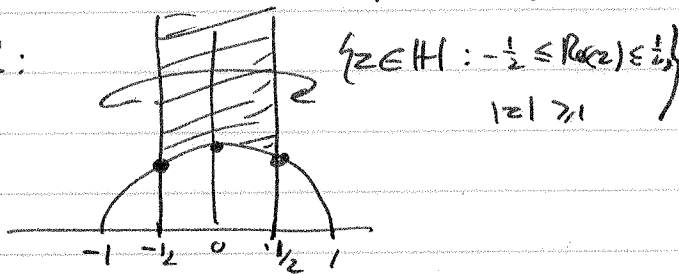
Exposé 2. Courbes modulaires, <sup>ja cohiennes, opor. de Hecke</sup> repr. galoisiennes.

2.1. Courbes modulaires, modèle analytique complexe.

Def. Pour  $n \in \mathbb{Z}_{\geq 1}$ :  $\Gamma(n) \subset SL_2(\mathbb{Z}) \rightarrow SL_2(\mathbb{Z}/n\mathbb{Z})$  (eng. par  $\begin{pmatrix} 1 & 1 \\ 0 & 1 \end{pmatrix}$  et  $\begin{pmatrix} 1 & 0 \\ 0 & \zeta_n \end{pmatrix}$ )  
 $\Gamma_1(n) \rightarrow \left\{ \begin{pmatrix} 1 & * \\ 0 & 1 \end{pmatrix} \right\} = \text{stab. de } \begin{pmatrix} 1 \\ 0 \end{pmatrix} \in (\mathbb{Z}/n\mathbb{Z})^2$ .

$SL_2(\mathbb{Z})/\Gamma_1(n) \xrightarrow{\text{bij.}} \left\{ \begin{pmatrix} a & \\ b & \end{pmatrix} \in (\mathbb{Z}/n\mathbb{Z})^2 : \text{ordre} \begin{pmatrix} a \\ b \end{pmatrix} = n \right\}$ , card.  $\left( \prod_{p|n} \left(1 - \frac{1}{p^2}\right) \right) \cdot n^2$

Dom. fondamentale pour  $SL_2(\mathbb{Z}) \backslash \mathbb{H}$ :



$\mathbb{H}$



$\Gamma_1(n) \backslash \mathbb{H} = \left\{ (E, P) : P \in E \text{ ordre } n \right\} / \cong =: Y_1(n)(\mathbb{C}) \subset X_1(n)(\mathbb{C}) \supset \{ \text{pointes} \}$

$z \mapsto (E_z, \frac{1}{n})$

$SL_2(\mathbb{Z}) \backslash \mathbb{H} = \left\{ E \text{ c. ell. } / \mathbb{C} \right\} / \cong \xrightarrow{j} \mathbb{C} \subset \mathbb{P}^1(\mathbb{C}) \supset \{ \text{cusps} \}$

$z \mapsto \mathbb{C}/(\mathbb{Z} + \mathbb{Z}z) =: E_z$

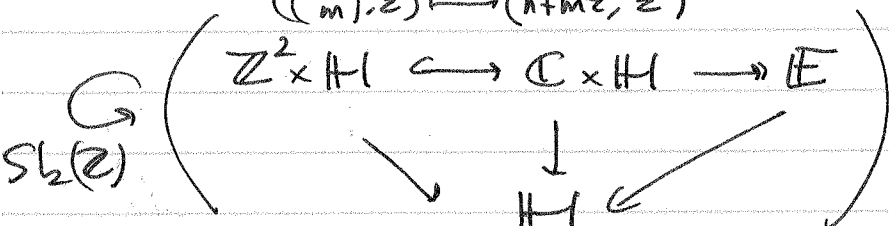
$y^2 = x^3 + ax + b$   
 $j = 1728 \cdot \frac{4a^3}{4a^3 + 27b^2}$

genre  $(X_1(n)(\mathbb{C})) \approx \frac{n^2}{24}$

$j(E_z) = \frac{1}{q(z)} + 744 + 196884q(z) + \dots$

Courbe elliptique universelle:

$\begin{pmatrix} n \\ m \end{pmatrix}, z \mapsto (n+ mz, z)$



$\begin{pmatrix} a & b \\ c & d \end{pmatrix} : (x, z) \mapsto \left( \frac{x}{cz+d}, \frac{az+b}{cz+d} \right)$

$\begin{pmatrix} n \\ m \end{pmatrix}, z \mapsto \left( \begin{pmatrix} a-b \\ c-d \end{pmatrix} \cdot \frac{1}{m}, \frac{az+b}{cz+d} \right)$

Pour  $n \geq 4$ , l'action de

$\Gamma_1(n)$  sur  $\mathbb{H}$  est libre,

ce qui donne:

$E_1(n)(\mathbb{C})$   
 $\downarrow \uparrow \mathbb{P}$

$Y_1(n)(\mathbb{C})$

Formes modulaires: pour  $\Gamma \subset SL_2(\mathbb{Z})$  d'indice finie,  $k \in \mathbb{Z}$ ,

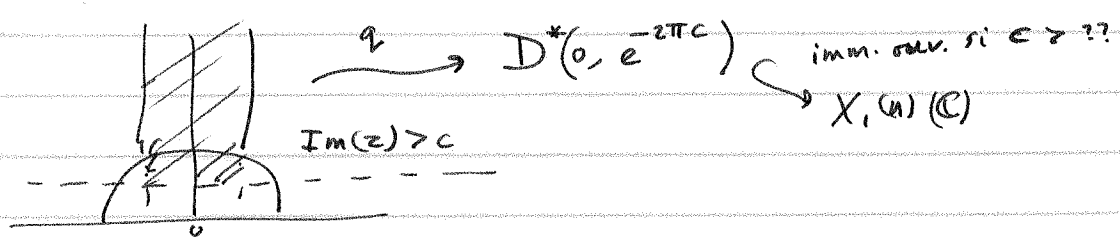
$$S_k(\Gamma) := \left\{ f: \mathbb{H} \rightarrow \mathbb{C} : \begin{array}{l} f \text{ holomorphe, } \forall \begin{pmatrix} a & b \\ c & d \end{pmatrix} \in \Gamma, \forall z \in \mathbb{H} \\ f\left(\frac{az+b}{cz+d}\right) \cdot (cz+d)^{-k} = f(z), \text{ } f \text{ hol. et} \\ \text{ nulle aux pointes de } \Gamma \end{array} \right\}$$

Pour  $n \geq 5$ :  $S_k(\Gamma_1(n)) = H^0(X_1(n)(\mathbb{C}), \underline{\omega}^{\otimes k}(-\text{pointes}))$ ,

où  $\underline{\omega}$  = l'extension naturelle de  $\omega^1_{E_1(n)/Y_1(n)}$  de  $Y_1(n)$  a  $X_1(n)$ .

Pour  $n \geq 5$  et  $k=2$ :  $S_k(\Gamma_1(n)) = \Omega^1(X_1(n)(\mathbb{C}))$ .

Pour finir: pour  $n \geq 5$   $X_1(n)(\mathbb{C})$  est recouvert par des disques autour des pointes.



## 2.2. Courbes modulaires, modèle algébrique.

(Tate normal form.)

Soit  $n \in \mathbb{Z}_{\geq 4}$ .

1.  $\forall (E, P) \in \mathcal{E}_k$   $E$  courbe ell. /  $k$  avec  $n \in k^\times$ ,  $P \in E(k)$  d'ordre  $n$ ,  
 $\exists! s, t \in k$  t-q.  $(E, P) \cong ("y^2 + sxy + ty = x^3 + tx^2", (0, 0))$ ,  
 en plus l'isomorphisme est unique.

2.  $\exists f_n \in \mathbb{Z}[\frac{1}{n}, s, t]$  t-q.  $\forall \mathbb{Z}[\frac{1}{n}] \rightarrow A$ ,  $\forall (E/A, P)$  courbe  
 ell. avec point  $P \in E(A)$  d'ordre  $n$  ( $n \cdot P = 0$  et  $\forall A \rightarrow k \dots$ )

$\exists! (f, g): P \xrightarrow{g} (0, 0)$

$$\begin{array}{ccc}
 E & \xrightarrow{g} & "y^2 + sxy + ty = x^3 + tx^2" = E_1^{(n)}_{\mathbb{Z}[\frac{1}{n}]} \\
 \downarrow \square & & \downarrow \\
 \text{Spec } A & \xrightarrow{f} & \text{Spec } \mathbb{Z}[\frac{1}{n}, s, t, 1/\delta] / (f_n) = Y_1^{(n)}_{\mathbb{Z}[\frac{1}{n}]} \\
 & & (\delta = \text{discriminant de l'eq. de W.})
 \end{array}$$

Ces  $f_n$  sont les analogues des  $\Phi_n$  pour les  $X^n - 1$ , racines d'unité.

Voir: "Homogeneous division polynomials for Weierstrass elliptic curves",

Jiabi Jin, arxiv.

Voir: Deninger, van Haeij, Zeng; Baaziz...



### 2.3. Jacobiennes des courbes modulaires.

Soit  $X$  une surface de Riemann complexe, compacte,  $g := \text{genre}(X)$ .

Soit  $\Omega^1(X)$  l'esp. vect.  $\mathbb{C}$  des 1-formes holom. sur  $X$ ,  $\dim_{\mathbb{C}}(\Omega^1(X)) = g$ .

Alors on a:  $H_1(X, \mathbb{Z}) \hookrightarrow \Omega^1(X)^{\vee} \twoheadrightarrow \text{jac}(X)$ , la jacobienne de  $X$ .

$\left( \gamma \mapsto \left( \omega \mapsto \int_{\gamma} \omega \right) \right)$   $\downarrow \mathbb{P}^N(\mathbb{C})$  (Riemann?), variété algébrique

$\mathbb{Z}$ -module libre de rang  $2g$ , réseau dans  $\Omega^1(X)^{\vee}$ .

Il y a aussi une construction algébrique (André Weil).

Soit  $k$  un corps,  $X$  une courbe alg. lisse et projective et géom. connexe sur  $k$ , avec  $X(k) \ni P_0$ .

$\{ \mathcal{O}_X \text{-mod. inv. de } d^0 \text{ sur } X \}$  les fibres

Alors le foncteur  $\text{Pic}_{X/k}^0 : \text{Sch}/k \rightarrow \text{Ens}$ ,  $S \mapsto \text{Pic}^0(X_S) / \text{Pic}(S)$  est représentable, ... le schéma représentant s'appelle la jacobienne de  $X$ ;  $\text{jac}(X)$ .

$$\begin{pmatrix} X_S \rightarrow X \\ \downarrow \square \downarrow \\ S \rightarrow \text{Spec } k \end{pmatrix}$$

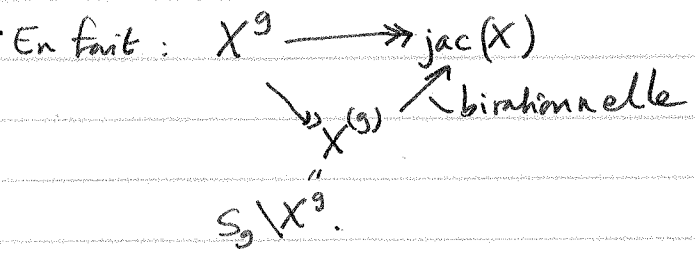
C'est une variété abélienne, de dim.  $g := \text{genre}(X)$ .

$\forall$  ext. de corps  $k \rightarrow l$ :  $\text{jac}(X)(l) = \{ \text{div. de } d^0 \text{ sur } X_l \} / \{ \text{divis. princ.} \}$   
 (fonct. nat.  $\neq 0$  sur  $X_l$ )

En fait, on a  $J_1(n)_{\mathbb{Z}[1/n]}$ , jac. de  $X_1(n)_{\mathbb{Z}[1/n]}$ , schéma ab. sur  $\mathbb{Z}[1/n]$ .

Nos repr. galoisiennes se trouvent dans  $J_1(n)(\overline{\mathbb{Q}})_{\text{tors}}$ , mais pour les "décomposer" il nous faut les opérateurs de Hecke.

$$(P_1, \dots, P_g) \mapsto [P_1 + \dots + P_g - gP_0]$$

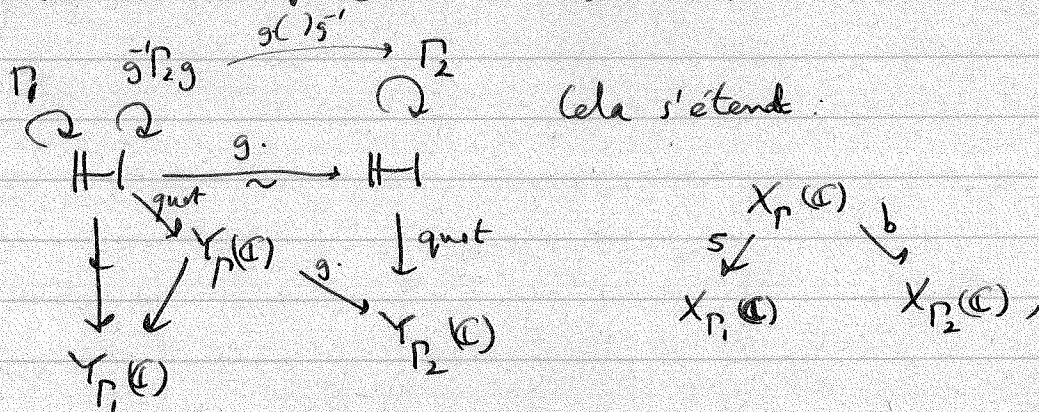


Weil construisait  $\text{jac}(X)$  à partir d'une loi de gr. birationnelle sur un ouvert de  $X^{(g)}$ .

## 2.4. Opérateurs de Hecke.

9.

Pour  $\Gamma_1 \subset SL_2(\mathbb{Z})$ ,  $\Gamma_2 \subset SL_2(\mathbb{Z})$  sous-groupes de congruence (contenant un  $\Gamma(n)$ ) et  $g \in GL_2(\mathbb{Q})$ ,  $\Gamma := \Gamma_1 \cap g^{-1}\Gamma_2g$  est d'indice finie dans  $\Gamma_1$  et dans  $g^{-1}\Gamma_2g$ , d'où une correspondance de degrés finis :



Cela induit:  $\text{jac}(X_{\Gamma_1}(\mathbb{C})) \longrightarrow \text{jac}(X_{\Gamma_2}(\mathbb{C}))$

$$[D] \longmapsto b_* s^* [D]$$

De même du côté algébrique.

$\text{End}(J_1(n)_{\mathbb{Q}})$

"

Pour  $J_1(n)_{\mathbb{Z}[1/n]}$  : on a des  $T_m$ ,  $m \geq 1$ , dans  $\text{End}(J_1(n)_{\mathbb{Z}[1/n]})$ ,

donnés par:  $X_1(n)(\overline{\mathbb{Q}}) \longrightarrow \text{Div}(X_1(n)(\overline{\mathbb{Q}}))$  (pour  $m$  premier,  $m \nmid n$  :  
 $g := \begin{pmatrix} m & 0 \\ 0 & 1 \end{pmatrix}$ )

$$(E, P) \longmapsto \sum_{G \in \text{ssqr.}} (E/G, \overline{P}).$$

GCE ssqr.

de degré d'ordre  $m$

e.g.  $G \cap \langle P \rangle = 0$

$\Pi_1(n) :=$  le sous-anneau de  $\text{End}(J_1(n)_{\mathbb{Z}[1/n]})$  engendré par les  $T_m$ .

Il est commutatif,  $\mathbb{Z}$ -module libre, de rang  $g(X_1(n))$ .

Il est très important ! Il contient les relations que satisfont les  $T_m$ .

Comme  $H_1(X_1(n)(\mathbb{C}), \mathbb{Z})$  est un  $\Pi_1(n)$ -module fidèle,

on peut calculer  $\Pi_1(n)$  comme anneau + ce module.

"Modular symbols algorithms".

$$\begin{aligned} \text{Même: } H_1(Y_1(n)(\mathbb{C}), \mathbb{Z}) &= \Pi_1(Y_1(n)(\mathbb{C}))^{\text{ab}} = H_1(\Gamma_1(n), \mathbb{Z}) = \\ &= H_1(SL_2(\mathbb{Z}), \text{Ind}_{\Gamma_1(n)}^{SL_2(\mathbb{Z})} \mathbb{Z}). \end{aligned}$$

Pour poids  $k \geq 2$  :  
 $\mathbb{Z}[x, y]_{k-2} = \text{Sym}^{k-2}(\mathbb{Z}^2)$ .

2.5. Repr. galoisiennes.

alg. de Hecke de  $S_k(SL_2(\mathbb{Z}), \mathbb{Z})$

"Thm 2.5.13" de (E-C) <sup>+2.5.7</sup> Soit  $l$  premier,  $k \in \mathbb{Z}$  t.q.  $2 < k \leq l+1$ ,

$f: \Pi(l, k) \rightarrow \mathbb{F}$  avec  $\mathbb{F}$  un corps fini, de car.  $l$ , t.q.

la repr.  $\gamma$  attachée  $\rho: G_{\mathbb{Q}} \rightarrow GL_2(\mathbb{F})$  est abs. irréductible.

Alors  $\exists! f_2: \Pi_1(l) \rightarrow \mathbb{F}$  t.q.  $\forall m: f_2(T_m) = f(T_m)$ ,

Pour  $(\epsilon_1, \dots, \epsilon_r)$  des gén. de  $\ker(f_2)$   $\rho_f$  est réalisée

par

$$V_f := \bigcap_{1 \leq i \leq r} \ker(\epsilon_i, J_1(l)(\overline{\mathbb{Q}})(l))$$

Exemple:  $k=12$ ,  $\Pi(l, \frac{l^2}{6}) = \mathbb{Z}$ ,  $S_{12}(SL_2(\mathbb{Z}), \mathbb{Z}) = \mathbb{Z} \cdot \Delta$ ,  $\Delta = q \prod_{n \geq 1} (1 - q^n)^{24}$ .

$$\sum_{n \geq 1} \tau(n) \cdot q^n$$

Donc  $\forall l \geq 11$ ,  $l \notin \{6, 9\}$

$\rho_{\Delta, l}$  réalisée par  $V_l := \bigcap_{i \in \frac{\mathbb{Z}^2}{6}} \ker(T_i - \tau(i), J_1(l)(\overline{\mathbb{Q}})(l))$ .

$T_n \in \mathbb{Z}$ : c'est  $\tau(n)$ .

On fait comme pour une courbe elliptique.

Comment calculer un polynôme  $P_l$  dans  $\mathbb{Q}[x]$  pour  $V_l$ ?

En principe, c'est bien simple!  $J_1(l)$  est une var. alg. proj. sur  $\mathbb{Q}$ ,

on peut la décrire avec des équations, disons plongée dans un  $\mathbb{P}_{\mathbb{Q}}^N$ .

On écrit l'addition, les  $T_i$  ( $i \in \frac{\mathbb{Z}^2}{6}$ ) et on a des équations pour les  $l^2$  points de  $V_l$ . On choisit une fonction rationnelle  $f: J_1(l) \rightarrow \mathbb{A}^1_{\mathbb{Q}}$

définie sur  $\mathbb{Q}$ , qui envoie  $V_l \hookrightarrow \mathbb{Q}$  et alors on

a  $P_l := \prod_{x \in V_l} (x - f(x)) \in \mathbb{Q}[x]$ . On calcule ces  $l^2$  points.

Problème: cela prend trop de temps. Nous voulons un temps de calcul qui est polynomial en  $l$ . Mais la dim. de  $J_1(l)$  est  $\approx l^2/24$ , résoudre les équations pour  $V_l$  prend un temps exp. en cette dim. ... (Nous savons bien résoudre des syst. d'éq. linéaires, mais les alg. de bases de Cribner sont soumis au "fléau de la dimension".)

### Exposé 3.

3.1. Calculs, côté théorique, complexité; objectif: démontrer un théorème.

Donc on n'optimise pas le temps de calcul asymptotique, mais on cherche à  
 On a un calcul exact direct prend trop de temps. minimiser la longueur des démonstrations.  
 Donc: approximer.

Calcul numérique au lieu de calcul symbolique.

Rappelons la situation:  $V_L \subset J_1(L)(\bar{\mathbb{Q}})$  cas de  $\Delta$   $\xrightarrow{f_L} \bar{\mathbb{Q}}$   $f_L$  rationnelle, def. sur  $\bar{\mathbb{Q}}$ .

$$P_L = \prod_{x \in V_L} (X - f_L(x)) \in \mathbb{Q}[X], \quad P_L = \sum_i P_{L,i} x^i, \quad P_{L,i} \in \mathbb{Q}, \quad P_{L,i} = \frac{a_{L,i}}{b_{L,i}}$$

$\text{pgcd}(a_{L,i}, b_{L,i}) = 1$

E-de Jms. Mertel:  $\exists c \in \mathbb{N}$  t.q.  $\forall L, \forall i$   $\log \max(|a_{L,i}|, |b_{L,i}|) \leq c \cdot l^{16}$ ,  
 (voir p. 252) pour des  $f_L$  spécifiques hauteur log. de  $P_{L,i}$ .

La démonstration: théorie d'Abel-Jacobson, Riemann-Roch arithmétique;  $\approx 70$  pages.

Convergences: Il existe un algorithme déterministe qui, donné  $l$  et un  $M \in \mathbb{Z}_{>0}$ ,  
 calcule des  $\tilde{P}_{L,i} \in \mathbb{Q}$  t.q.  $\forall i: |P_{L,i} - \tilde{P}_{L,i}| < e^{-M}$ , au temps polynomial  
 en  $l$  et  $M$ . (livre: p. 339).

La démonstration: 110 pages, et c'est difficile!

Pourquoi cela résout notre problème? Soit  $x = \frac{a}{b}$ ,  $x' = \frac{a'}{b'}$ ,  $a, a', b, b' \in \mathbb{Z}$   
 $x \neq x'$ .  $|a|, |a'|, |b|, |b'| \leq B$ .

$$\text{Alors } |x - x'| = \left| \frac{a}{b} - \frac{a'}{b'} \right| = \left| \frac{ab' - a'b}{bb'} \right| \geq \frac{1}{|bb'|} \geq \frac{1}{B^2}$$

Donc une approximation  $\overset{\mathbb{Q}}{y}$  de  $x$  avec  $|x - y| < \frac{1}{2B^2}$  détermine  $x$ .

Même:  $x$  est un convergent de la fraction continue de  $y$ .

Donc: on peut calculer  $P_L$  en temps polynomial en  $l$ .

Variante: approximation par congruences. On connaît  $x = \frac{a}{b}$  si on  
 connaît ses images dans  $\mathbb{F}_p$  pour  $p \in S$ , t.q.  $\prod_{p \in S} p > 2 \cdot \max(|a|, |b|)^2$ .

On verra plus loin comment les calculs sont faits.

### 3.2. Éléments de Frobenius, coeff. de formes modulaires.

Donc nous allons calculer  $V_L \xrightarrow{f_L} \text{Racines}(P_L)$ ,  $P_L \in \mathbb{Q}[x]$ .

Modifier  $f_L$ :  $P_L \in \mathbb{Z}[x]$ .

Alors  $\text{Racines}(P_L) \subset \bar{\mathbb{Z}}$

$$\begin{array}{ccc} m \subset \bar{\mathbb{Z}} & \xrightarrow{\varphi} & \bar{\mathbb{F}}_p \\ \downarrow \cup & & \downarrow \\ p\mathbb{Z} \subset \mathbb{Z} & \longrightarrow & \mathbb{F}_p \end{array}$$

Si  $p \nmid \text{disc}(P_L)$ ,

$$\text{Racines}(P_L, \bar{\mathbb{Z}}) \xrightarrow{\varphi} \text{Racines}(P_L, \bar{\mathbb{F}}_p) \cong \text{Frob}_p: x \mapsto x^p$$

Cela donne  $\rho_\Delta(\text{Frob}_p) \in \rho_\Delta(G_{\mathbb{Q}}) \subset GL(V_L)$ , classe de conj. dans  $G_{\mathbb{Q}}$  indép. de  $m$ .

Relation<sup>de congruence</sup> d'Eichler-Shimura:  $\text{tr}(\rho_\Delta(\text{Frob}_p)) = \tau(p)$  dans  $\mathbb{F}_p$   
 $\det(\rho_\Delta(\text{Frob}_p)) = p^k$

Deligne:  $|\tau(p)| \leq 2 \cdot p^{k/2}$ .

Tout ensemble: on peut calculer  $\tau(p)$  en temps pol. en

$\log(p)$ : mod  $l$  pour les  $l \in B$ ,  $\left( \prod_{l \in B} l \right) \tau \in B > 4 \cdot p^{k/2}$ .

Dans le livre avec Couvignes... : calculer  $T_p \in \Pi(1, k)$ .

Si  $k$  variable: temps polynomial sous GRH; il faut suffisamment des de  $m \subset \Pi(1, k)$  de avec  $\#\left(\Pi(1, k)/m\right)$  petit. Déterministe.

Bruin  $T_p \in \Pi(\Gamma_1(m), k)$ . (Probabiliste: car utilise corps finis).

3.3. Calculs réalisés

$$\Omega^1(X, \ell)(\mathbb{C}) = \mathbb{C} \cdot \omega_1 \oplus \dots \oplus \mathbb{C} \omega_9$$

Bosman  $X_1(\ell)(\mathbb{C})^9 \longrightarrow J_1(\ell)(\mathbb{C}) = \mathbb{C}^9 / \Lambda \supset \frac{1}{2} \cdot \Lambda / \Lambda \supset V_\ell$   
 (2006-2008)  $(P_1, \dots, P_9) \longmapsto \sum_{i=1}^9 \int_{P_0}^{P_i} (\omega_1, \dots, \omega_9) \quad \text{"} H_1(X, \ell)(\mathbb{C}), \mathbb{Z} \text{"}$

$$\omega_i = \sum_{n \geq 1} a_{i,n} q^n \cdot \frac{dq}{q}$$

$X_1(\ell)(\mathbb{C}) = \cup$  disques autour des pointes.

"Homotopy continuation method".

Montrer la table page 170 : polynômes certifiés  
 repr. projectives  $PG_2(\mathbb{F}_2) \subset GL_3(\mathbb{F}_2)$   
 (#  $PG_2(\mathbb{F}_2) = 6n$ )

Montrer aussi les congruences au début.

Mascot - (2013) Docteurant de Couvignes, va bientôt soutenir.

Méthode complexe de Couvignes:

$x \in V_\ell, \tilde{x} \in \frac{1}{2} \Lambda$ , appr.  $\frac{\tilde{x}}{2^m}$  avec intégr. comme Bosman,  
 convergence beaucoup meilleure, ensuite 2. dans jac avec  
 diviseurs, à la Khuri-Mahdavi.

Innovations: ~~Dans~~ fonction  $f_\ell : J_1(\ell) \dashrightarrow \mathbb{Q}A'_\ell$  plus simple  
 (moins de pôles)

- ②  $GL_2(\mathbb{F}_2)$  / partie impaire de  $\mathbb{F}_2^*$  : on trouve les congr. sans ambigüité de signes.
- ③ utilisation des ~~résolvantes~~ résolvantes des Dokohitiev.

Montrer ses tables! Les polynômes (non publiés) ne sont pas encore certifiés : trop grand pour "polred".

Zeng, Jiaxiang: (docteurant de Yin Liasheng à Tsinghua)  
avec Maarten Dencker et Mark van Hoeij:

Méthode des corps finis, suivant des algorithmes de  
Florian Heun ( $\approx 2000$ ): analyse au calcul de ~~des~~ en  
théorie des nombres: pour  $\mathbb{Q}$ ,  $X_1(\ell) \xrightarrow{f} \mathbb{P}^1$ .

Il utilise aussi les améliorations  $(K \hookrightarrow \mathbb{Q})$  ① ② ③ de Mascot,  
mais arrive bien à travailler dans les jacobiniennes de  
quotients de  $X_1(\ell)$ :

$$\begin{array}{ccc} \mathbb{F}_\ell^\times & \hookrightarrow & X_1(\ell) \\ \downarrow & & \downarrow \\ H & & X_1(\ell)/H \end{array} \quad \text{avantage:}$$

Bons modèles des  $X_1(\ell)/H$  fournis par Dencker + van Hoeij:  
Polynômes certifiés pour repr. projectives.

Peng Tian: ~~docteurant~~ docteurant de René Schoof. A ~~est~~ généralisé le  
code de Bosman pour traiter quelques  $X_1(\ell)/H$ .